

## РАДИАЦИЯ И БИОСФЕРА

УДК 581.5+581.134.5:581.824.1+582.475+551.510.534

# Вариации и тренды содержания CO<sub>2</sub> и H<sub>2</sub>O в кольцах спилов хвойных деревьев

Б.Г. Агеев<sup>1</sup>, А.Н. Груздев<sup>2</sup>, Г.В. Матяшенко<sup>3</sup>, Д.А. Савчук<sup>4</sup>,  
В.А. Сапожникова<sup>1</sup>, Ю.Н. Пономарев<sup>1\*</sup>

<sup>1</sup>Институт оптики атмосферы им. В.Е. Зуева СО РАН  
634021, г. Томск, пл. Академика Зуева, 1

<sup>2</sup>Институт физики атмосферы им. А.М. Обухова РАН  
119017, г. Москва, пер. Пыжевский, 3

<sup>3</sup>Институт геохимии им. А.П. Виноградова СО РАН  
664033, г. Иркутск, ул. Фаворского, 1а

<sup>4</sup>Институт мониторинга климатических и экологических систем СО РАН  
634021, г. Томск, пр. Академический, 10/3

Поступила в редакцию 8.07.2012 г.

Приводятся данные об изменении содержания CO<sub>2</sub> и H<sub>2</sub>O в годичных кольцах спилов хвойных деревьев из районов с различными климатическими условиями, проводится сравнение этих данных с шириной годичного кольца, делаются выводы относительно климатического отклика в погодических распределениях CO<sub>2</sub> и H<sub>2</sub>O. Выдвигается гипотеза, что появление долгопериодных циклов в распределениях CO<sub>2</sub> по годичным кольцам является реакцией деревьев на изменение условий окружающей среды.

**Ключевые слова:** CO<sub>2</sub>, цикличность, годичные кольца, лазерный фотоакустический газоанализ, климатический отклик; CO<sub>2</sub>, cyclicity, tree rings, laser photoacoustic gas analysis, climatic response.

## Введение

Рост концентрации атмосферного CO<sub>2</sub> вызывает повышенный интерес в научном мире из-за его возможного влияния на растительность, в частности на леса. Уже к 2006 г. влияние избыточного CO<sub>2</sub> на растения было предметом исследования нескольких тысяч научных статей и приблизительно 120 обзоров [1]. Так как углерод, идущий на построение древесины, появляется в деревьях исключительно из атмосферного CO<sub>2</sub>, ассимилируемого ими через листья [2], то увеличение атмосферного CO<sub>2</sub> должно было бы приводить к изменениям некоторых параметров растений, в частности к увеличению прироста или изменению дыхания растения.

Огромное количество работ связано с определением влияния избыточного CO<sub>2</sub> на дыхание растений, в том числе на определение скорости дыхания древесной растительности. Дыхание стволов является важным компонентом бюджета углерода лесного древостоя, на который может повлиять рост содержания атмосферного CO<sub>2</sub> [3]. Изучение влияния избыточного CO<sub>2</sub> на растения обычно проводят с по-

мощью ростовых камер: молодые деревья помещаются в экспозиционные камеры, в которые подается избыточный CO<sub>2</sub>, на стволы деревьев крепятся датчики температур и инфракрасные анализаторы выдыхаемого стволов CO<sub>2</sub>, и результаты измерений сравниваются с показателями датчиков на контрольных деревьях, растущих в естественных атмосферных условиях. Известно, что в отличие от атмосферного CO<sub>2</sub>, концентрация которого составляет 0,04%, содержание CO<sub>2</sub> в стволе может иногда превышать 20%. CO<sub>2</sub> в стволе образуется в результате дыхания живых клеток ствола и корней и имеет иное значение отношения изотопов углерода, чем атмосферный. Считается [4], что весь образованный в стволе CO<sub>2</sub> диффундирует в атмосферу, его количество является дыханием ствола и именно его измеряют датчики, закрепленные на стволях деревьев. Однако проводимые много десятилетий измерения не дают однозначного ответа на вопрос, как влияет рост содержания атмосферного CO<sub>2</sub> на растения, в частности на древесные. Не существует однозначного ответа и на вопрос, каков эффект длительного воздействия избыточного CO<sub>2</sub> на растения; считается, например, что увеличение содержания CO<sub>2</sub> в атмосфере приводит к изменению фотосинтеза [5].

Результаты наших исследований содержания CO<sub>2</sub> в годичных кольцах спилов деревьев по предложенной нами методике [6, 7] показали, что в стволе сохраняется значительная часть CO<sub>2</sub>, образуемая

\* Борис Григорьевич Агеев; Александр Николаевич Груздев; Григорий Васильевич Матяшенко; Дмитрий Анатольевич Савчук (savchuk@imces.ru); Валерия Александровна Сапожникова (sapo@asd.iao.ru); Юрий Николаевич Пономарев (yuron@iao.ru).

при дыхании клеток. Содержание этого  $\text{CO}_2$  в большинстве случаев превышает содержание  $\text{CO}_2$  в атмосфере и образует распределение по годичным кольцам в древесине, коррелирующее в ряде случаев с ростом содержания атмосферного  $\text{CO}_2$ . Кроме того, было показано, что в распределении  $\text{CO}_2$  в кольцах спилов хвойных можно выделить 4- и 2-летний циклы, на которые накладываются многолетние вариации [8, 9].

Используемый нами метод лазерной фотоакустической спектроскопии давно и успешно используется во многих приложениях [10–14]. Метод обладает высокой чувствительностью, например при использовании  $\text{CO}_2$ -лазера в качестве источника излучения можно определять содержание аммиака, этилена или метанола на уровне «ppb» [15]. В настоящей статье сравниваются погодичные распределения содержания  $\text{CO}_2$ , полученные методом фотоакустической спектроскопии, в спилах хвойных деревьев, взятых из разных местообитаний (равнинных и горных), делаются выводы относительно климатического отклика в распределениях.

Результаты измерений могут представлять интерес для дендрохронологов, дендроэкологов, различных специалистов, занимающихся проблемами баланса углерода и оценкой потоков  $\text{CO}_2$  между земными экосистемами и атмосферой [16].

## Материалы и методы

Исследование содержания  $\text{CO}_2$  и  $\text{H}_2\text{O}$  в годичных кольцах было проведено для спилов сосны обыкновенной (*Pinus sylvestris L.*), лиственницы сибирской (*Larix sibirica Ledeb.*) и кедра сибирского (*Pinus sibirica Du Tour*).

Спил сосны был взят возле с. Большое Голоустное ( $52^{\circ}02'$  с.ш.,  $105^{\circ}24', 5'$  в.д., Иркутская обл., северо-западное побережье Южного Байкала). Молодильное дерево произрастало в молодом сосновом лесу, диаметр дерева 24 см, возраст 70 лет, 56 колец на спиле. Спил лиственницы был получен возле пос. Черноруд ( $53^{\circ}00'$  с.ш.,  $106^{\circ}43', 3'$  в.д., Иркутская обл., северо-западное побережье Среднего Байкала). Дерево росло в молодом лиственничном лесу, диаметр дерева 23 см, возраст 95 лет, 69 колец на спиле. Спил кедра был взят на юго-западном склоне Семинского хребта ( $50^{\circ}04'$  с.ш.,  $87^{\circ}45'$  в.д., 1650 м над ур.м., Республика Алтай). Дерево произрастало в смешанном хвойном лесу, диаметр дерева 54 см, возраст 130 лет, 107 колец на спиле. Полученные результаты по содержанию  $\text{CO}_2$  в кольцах спила сравнивались с данными по погодичному содержанию  $\text{CO}_2$  в спиле кедра Западно-Сибирской равнины ( $56^{\circ}26'$  с.ш.,  $85^{\circ}03'$  в.д., Томская область, Трубачевский припоселковый кедровник, диаметр дерева 66 см, возраст 150 лет, 132 кольца на спиле).

Места обитания деревьев, с которых были взяты спилы, различаются по климатическим условиям, абсолютной высоте, почвенным условиям, рельефу и т.п. Например, Семинский перевал (Горный Алтай) – район взятия спила кедра – является самым высоким из всех перевалов Алтая (1750 м). Климат

района резко континентальный. Среднегодовая температура воздуха  $-1,1^{\circ}\text{C}$ . Средняя температура июля  $+16,2^{\circ}\text{C}$ , января  $-22,1^{\circ}\text{C}$ . Юг Западно-Сибирской равнины, наоборот, имеет ровный рельеф, без резких перепадов высот (до 200 м над ур.м.). Резко континентальный климат района формируется отчасти под отопляющим влиянием рек Оби и Томи. Среднегодовая температура составляет  $-0,6^{\circ}\text{C}$ , средняя температура июля  $+18,1^{\circ}\text{C}$ , средняя температура января  $-19,2^{\circ}\text{C}$ .

Приольхонье, где располагается пос. Черноруд, – самое сухое место Прибайкалья: радиационный индекс сухости соответствует сухим степям. В отдельные годы в начале вегетационного периода (май–июнь) осадков вообще нет, что сказывается на приросте деревьев. В целом ведущими факторами для роста и развития древесных растений в районах исследований являются климатические (солнечная радиация, сумма эффективных температур, продолжительность вегетационного сезона, резкие изменения элементов погоды в сравнительно короткие периоды времени, поздневесенние и раннелетние заморозки) и рельеф (его форма, экспозиция, крутизна и т.п.).

Все спилы для анализа брались на высоте 1,3–1,5 м от земли и до измерений хранились в лабораторных условиях, т.е. древесина считается комнатно-сухой.

Содержание  $\text{CO}_2$  в пробах, извлеченных вакуумным методом из колец, измерялось на лазерном фотоакустическом газоанализаторе, который давно и успешно применяется для решения широкого круга задач газоанализа. В работе использовались стандартная схема спектрометра и стандартная процедура измерений, которые были неоднократно описаны [6–8]. Источником ИК-излучения служил волноводный  $\text{CO}_2$ -лазер с высокочастотным (ВЧ) возбуждением.

Перестройка длины волны излучения осуществлялась поворотом дифракционной решетки (150 штр./мм), установленной в прецизионном поворотном узле. Лазер генерировал в полосах 10 и 9 мкм более чем на 70 линиях  $P$ - и  $R$ -ветвей при выходной мощности генерации до 3 Вт на сильных линиях и до 0,5 Вт на слабых. Излучение модулировалось по амплитуде и перед направлением в ячейку фотоакустического детектора ослаблялось ИК-ослабителями ( $\text{Ge}$ ,  $\text{BaF}_2$ ) до мощности  $\sim 70$  мВт. Режим модуляции определялся амплитудной модуляцией мощности накачки ВЧ-генератора лазера. Для измерения фотоакустического сигнала поглощения  $U$  использовался фотоакустический детектор нерезонансного типа, состоящий из микрофонной камеры, где размещался самодельный конденсаторный микрофон, и присоединенной к ней цилиндрической газовой ячейки ( $\varnothing 10 \times 100$  мм) с окнами из  $\text{BaF}_2$ . Для повышения отношения сигнал-шум детектора была выбрана низкая частота модуляции излучения, равная 123 Гц. Мощность излучения  $W$  измерялась с помощью фотоприемника, также работающего на основе фотоакустической регистрации, но вместо газовой ячейки использовалась камера, содержащая неселективный поглотитель –

зачерненную металлическую фольгу. Сигналы микрофонов детектора и фотоприемника подавались сначала на широкополосные предусилители, а затем на систему измерения и регистрации на базе звуковой карты персонального компьютера.

Перестройка длины волны излучения, измерение сигналов детекторов, их предварительная обработка (усреднение, определение отношений) осуществлялись с помощью специально разработанной компьютерной программы. Результатом измерения являлся файл с записью значений  $A = U/W$  на соответствующих линиях генерации, т.е. аналог спектра поглощения пробы. Информация о спектре отображалась также на мониторе персонального компьютера, с помощью которого происходило управление спектрометром.

Перед измерениями с помощью поверочной смеси  $\text{CO}_2 + \text{N}_2$  осуществлялась калибровка всей системы. Ячейка детектора заполнялась поверочной смесью с известными концентрациями  $\text{CO}_2$ , и на выбранных линиях генерации сопоставлялись значения  $A$  и концентрации  $\text{CO}_2$  используемой смеси.

Эксперимент проводился следующим образом. Образцы древесины четырех годичных колец помещались в четыре экспозиционные камеры, в которых создавался кратковременный вакуум для выхода сортированных древесиной газов, и через 20–30 мин проводились измерения [6, 7]. Во всех измерениях пробы газа из каждой экспозиционной камеры ( $P = 6\text{--}8$  торр) запускалась в вакуумизированную фотоакустическую ячейку и добавлялся воздух для создания общего давления 100 торр в ячейке, при котором достигалась максимальная чувствительность фотоакустического детектора. Каждая серия измерений  $A_{ring}$  для анализируемых проб сопровождалась измерениями величин  $A_{air}$  фонового поглощения воздуха. Информационной являлась величина  $\Delta A = A_{ring} - A_{air}$ , по которой с помощью калибровочного графика находилось относительное содержание  $\text{CO}_2$  в пробе для каждого кольца. Измерения проводились на четырех линиях генерации перестраиваемого  $\text{CO}_2$ -лазера:  $10P(20, 16, 14)$ , совпадающих с линиями поглощения  $\text{CO}_2$ , и  $10R(20)$ , совпадающей с линиями поглощения  $\text{CO}_2$  и паров  $\text{H}_2\text{O}$ . Коэффициенты поглощения  $\text{H}_2\text{O}$  в области линий генерации  $10P(20, 16, 14)$  во много раз меньше, чем коэффициенты поглощения  $\text{CO}_2$  на этих линиях [18], поэтому мы считаем, что вклад паров  $\text{H}_2\text{O}$  в поглощение на линиях  $10P(20, 16, 14)$  для наших условий эксперимента незначителен.

Ширина годичных колец на зашлифованной поверхности спила измерялась на полуавтоматической установке LINTAB с точностью 0,01 мм.

## Результаты измерения содержания $\text{CO}_2$ в годичных кольцах спилов

Полученные результаты по содержанию  $\text{CO}_2$  в годичных кольцах спилов, взятых в районах Байкала и Семинского хребта, представлены на рис. 1–5, и для сравнения приводятся данные по содержанию  $\text{CO}_2$  в спиле, взятом под Томском [7] (рис. 6).

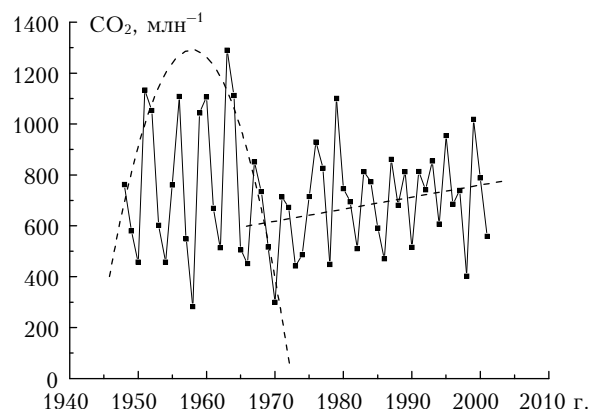


Рис. 1. Погодичные вариации содержания  $\text{CO}_2$  в кольцах спила сосны (с. Б. Голоустное, Байкал)

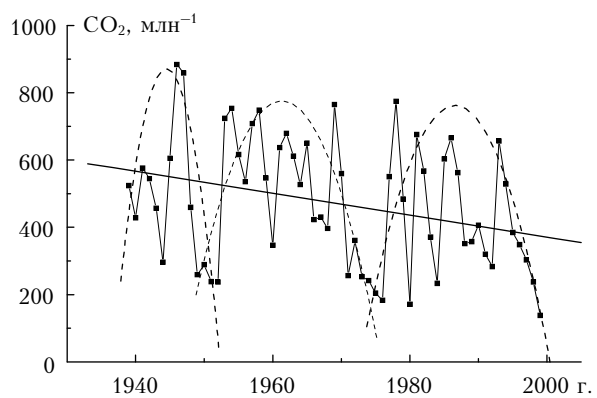


Рис. 2. Погодичные вариации содержания  $\text{CO}_2$  в кольцах спила лиственницы (пос. Черноруд, Байкал)

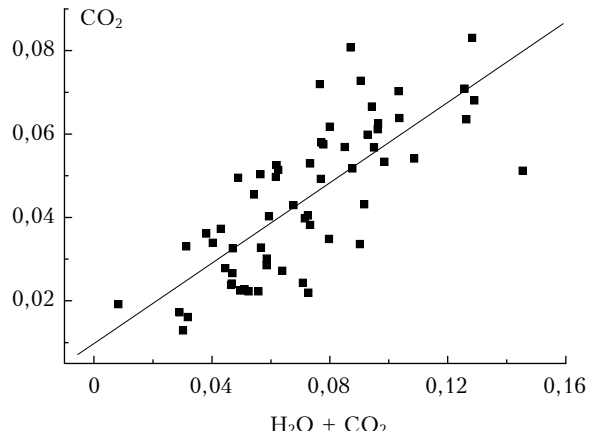


Рис. 3. Линейная корреляция между сигналами от  $(\text{H}_2\text{O} + \text{CO}_2)$  и  $\text{CO}_2$  для спила лиственницы (пос. Черноруд, Байкал)

Все результаты по содержанию  $\text{CO}_2$  в кольцах являются средним из трех измерений на трех длинах волн, коэффициент корреляции между измеренными значениями равен 0,85–0,9.

Как видно из рис. 1, в спиле сосны (село Б. Голоустное) содержание  $\text{CO}_2$  превышает атмосферное  $\text{CO}_2$  и наблюдается характерное распределение  $\text{CO}_2$  с максимумом в 1957–1958 гг. Можно отметить последующий положительный тренд  $\text{CO}_2$ , который

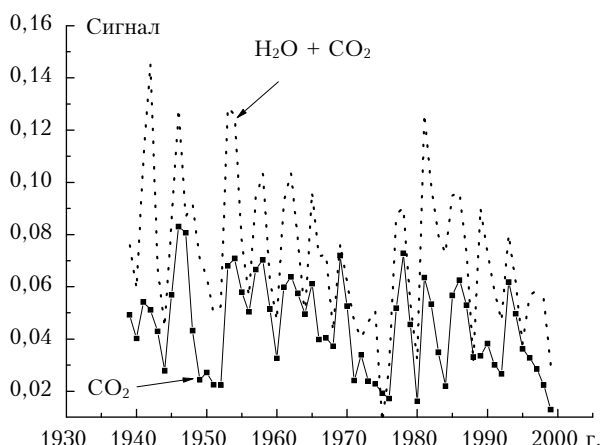


Рис. 4. Вариации сигналов от ( $H_2O + CO_2$ ) на линии генерации 10R(20) и средние из измерений на 3 частотах данных по  $CO_2$  для лиственницы

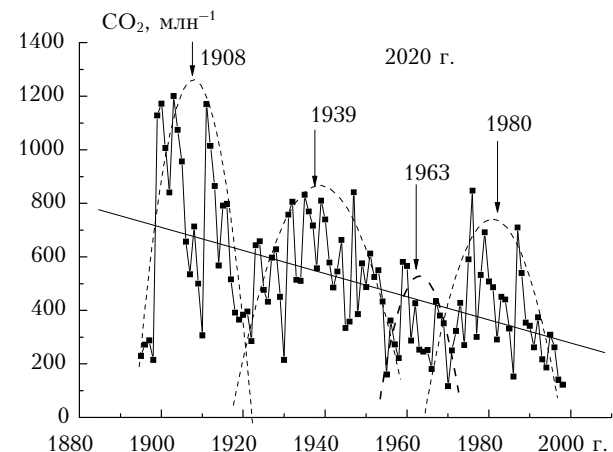


Рис. 5. Погодичные вариации содержания  $CO_2$  в кольцах спила кедра с Семинского хребта

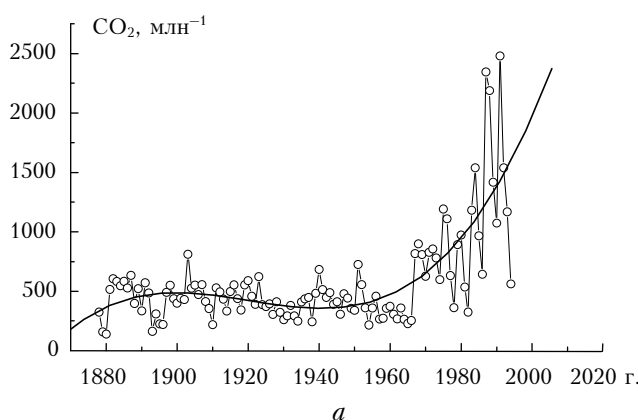


Рис. 6. Сравнение погодичных трендов  $CO_2$  по кольцам «томского» кедра (а) и кедра с Семинского хребта (б)

свидетельствует о повторном накоплении  $CO_2$  в кольцах. Кроме того, спил «байкальской» сосны характеризуется отчетливой 4-летней цикличностью распределения  $CO_2$  в кольцах (аналогичная картина наблюдалась и в спиле молодой сосны, Томск [8, рис. 7]).

Измерения содержания  $CO_2$  в коре сосны показали, что концентрация  $CO_2$  в ней близка к содержа-

нию  $CO_2$  в первом подкорковом кольце 2001 г. Был определен коэффициент корреляции между сигналом на частоте генерации лазера 10R(20) для ( $H_2O + CO_2$ ) и сигналом от  $CO_2$  (среднее из измерений на трех длинах волн):  $R = +0,50, N = 43, P = 5,12 \cdot 10^{-4}$ . Между содержанием  $CO_2$  в кольцах и шириной годичного кольца найдена достоверная отрицательная корреляция:  $R = -0,38, N = 43, P = 0,012$ . Отметим,

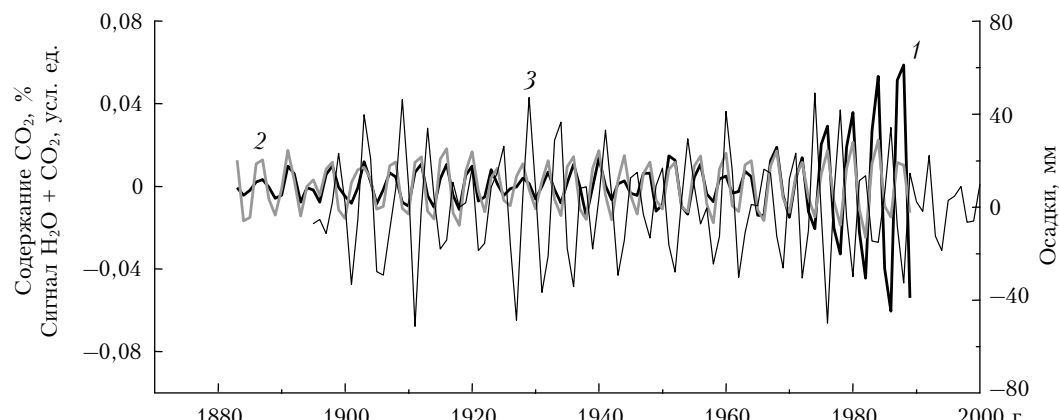


Рис. 7. Четырехлетние компоненты вейвлет-преобразований содержания  $CO_2$ , сигнала ( $H_2O + CO_2$ ) (1 и 2 соответственно; левая вертикальная ось) и количества осадков в период покоя (3, правая вертикальная ось)

что для этого спила существует достоверная отрицательная линейная корреляция между сигналом от  $(\text{H}_2\text{O} + \text{CO}_2)$  и шириной годичного кольца:  $R = -0,40$ ,  $N = 43$ ,  $P = 0,00794$ .

Для спилов лиственницы с Байкала (см. рис. 2) и кедра с Семинского хребта (см. рис. 5) были получены иные результаты.

В спиле лиственницы содержание  $\text{CO}_2$  было измерено в 61 кольце. В коре спила содержание  $\text{CO}_2$  было почти в 2 раза ниже, чем в первом подкорковом кольце 1999 г. Распределение  $\text{CO}_2$  в кольцах можно приблизительно сгруппировать по трем участкам, ограниченным полиномиальными кривыми 2-го порядка, которые приблизительно указывают на год максимального значения  $\text{CO}_2$  в этом распределении: 1944, 1961 и 1987.

Из рис. 2 видно, что в содержании  $\text{CO}_2$  присутствуют 3- и 4-летние циклы, а тренд содержания  $\text{CO}_2$  отрицательный. Если весь период измерений разбить на два временных отрезка 1939–1975 и 1975–1999 гг., то для первого из них выявится слабая положительная корреляция между ширинами колец и содержанием  $\text{CO}_2$  ( $R = +0,25$ ,  $N = 36$ ,  $P = 0,1319$ ), а для второго – слабая отрицательная корреляция ( $R = -0,26$ ,  $N = 25$ ,  $P = 0,2$ ).

Сопоставление сигналов на линии  $10R(20)$  для  $(\text{H}_2\text{O} + \text{CO}_2)$  с данными для  $\text{CO}_2$ , усредненными по 3 линиям генерации, показывает (см. рис. 3 и 4), что между ними наблюдается достоверная корреляция:  $R = +0,76$ ,  $N = 61$ ,  $P < 0,0001$ . Это говорит о том, что мы при вакуумировании извлекаем в основном растворенный в воде  $\text{CO}_2$ .

Сравнение сигналов в коре и в первом подкорковом кольце (1999 г.) показало, что сигнал от  $(\text{H}_2\text{O} + \text{CO}_2)$  в коре лиственницы с Байкала был в 3 раза выше, чем в кольце.

На рис. 5 представлены результаты измерения содержания  $\text{CO}_2$  в кольцах кедра с Семинского хребта. Полученное распределение  $\text{CO}_2$  по кольцам для лиственницы (пос. Черноруд): в содержании  $\text{CO}_2$  присутствуют 3- и 4-летние циклы, а тренд содержания  $\text{CO}_2$  – отрицательный. Все данные можно сгруппировать по четырем временным отрезкам: трем отчетливым и одному слабозаметному (с максимумом приблизительно в 1963 г.). Кроме того, имеется четкая тенденция к уменьшению содержания  $\text{CO}_2$  в кольцах с возрастом. Коэффициент корреляции между сигналами от  $\text{CO}_2$  в кольцах и сигналами от  $(\text{H}_2\text{O} + \text{CO}_2)$  также оказался достоверно высоким:  $R = +0,85$ ,  $N = 104$ ,  $P < 0,0001$ . В период 1960–1998 гг. ширина кольца и содержание  $\text{CO}_2$  изменяются в «противофазе» друг с другом, коэффициент достоверной корреляции – отрицательный:  $R = -0,35$ ,  $N = 39$ ,  $P = 0,03109$ , т.е. чем больше содержание  $\text{CO}_2$ , тем меньше ширина кольца. До 1960 г. между ними наблюдалась слабая положительная корреляция.

Для сравнения приведем данные содержания  $\text{CO}_2$  в кольцах спилов кедров, росших на юге Томской области (см. рис. 6, а) и на Семинском хребте Горного Алтая (см. рис. 6, б). Содержание  $\text{CO}_2$

в годичных кольцах «томского» кедра до начала 1960-х гг. не испытывает значительного тренда, но затем происходит его рост, тогда как кедр с Семинского хребта сразу накапливает значительное количество  $\text{CO}_2$ , которое постепенно, с течением времени снижается. В первом случае увеличение содержания  $\text{CO}_2$  мы связали с изменением атмосферных условий: ростом содержания атмосферного  $\text{CO}_2$  и изменением в нем отношения изотопов углерода [8]. Во втором случае в горных условиях на общее снижение содержания  $\text{CO}_2$  влияет, вероятно, повышенная солнечная радиация и более короткий вегетационный сезон. Следует отметить, что рост содержания  $\text{CO}_2$  возле 60-х гг. остается и в погодичном распределении  $\text{CO}_2$  по кольцам в спиле кедра с Семинского хребта (1963 г.), однако в распределении  $\text{CO}_2$  появляются дополнительные максимумы долгопериодного цикла (~ 40 лет).

## Связь вариаций содержания $\text{CO}_2$ и $\text{H}_2\text{O}$ с метеорологическими параметрами

Был выполнен анализ связи вариаций содержания  $\text{CO}_2$  и  $\text{H}_2\text{O}$  в годичных кольцах кедра из района Томска с метеорологическими параметрами: температурой, количеством осадков и облачностью. Для этого использовались методы вейвлетного анализа, спектрального и кросс-спектрального анализа высокого разрешения, техника цифровой фильтрации временных рядов и стандартный корреляционный анализ. Получены следующие основные результаты, более подробно изложенные в [9].

Содержания  $\text{CO}_2$  и  $\text{H}_2\text{O}$  в годичных кольцах кедра испытывают вариации в широком диапазоне временных масштабов – от двух лет до десятилетий. Они подвержены воздействию климатических факторов. Наиболее тесно они связаны с 4- и 2-летними вариациями количества осадков в фазе покоя и с аналогичными вариациями нижней облачности в период вегетации при определяющей роли осадков. Синхронные между собой колебания содержаний  $\text{CO}_2$  и  $\text{H}_2\text{O}$  противоположны по фазе 4- и 2-летним колебаниям количества осадков. Наряду с этим 4-летние колебания содержаний  $\text{CO}_2$  и  $\text{H}_2\text{O}$  происходят в фазе, а 2-летние колебания – в противофазе с соответствующими вариациями нижней облачности в период вегетации. Рис. 7, на котором представлены 4-летние вейвлет-компоненты количества осадков в период покоя, содержания  $\text{CO}_2$ , сигнала от  $(\text{CO}_2 + \text{H}_2\text{O})$ , демонстрирует противофазность 4-летних колебаний содержаний  $\text{CO}_2$  и  $\text{H}_2\text{O}$ , с одной стороны, и количества осадков – с другой, в течение большей части периода совместных измерений.

Предполагается, что весеннее таяние твердых осадков влияет на транспирационный ток дерева через изменение осмотического потенциала, вызванное изменением концентрированности и pH почвенного раствора. Вариации количества облаков нижнего яруса модулируют степень освещенности и тем самым тоже влияют на скорость транспирационного

тока. Вариации количества осадков в период покоя и вариации количества облаков нижнего яруса в период вегетации согласованы между собой по фазе. Их воздействия на содержание  $\text{CO}_2$  и  $\text{H}_2\text{O}$  в годичных кольцах суммируются на масштабе 4-летних вариаций и противоправлены на масштабе 2-летних вариаций. Это приводит к усилению 4-летних и ослаблению 2-летних колебаний содержания  $\text{CO}_2$  и  $\text{H}_2\text{O}$  по сравнению с соответствующими колебаниями количества осадков и облачности.

Многолетние вариации содержаний  $\text{CO}_2$  антикоррелируют с приземной температурой в период вегетации. Каких-либо других закономерностей между многолетними вариациями содержаний  $\text{CO}_2$  и  $\text{H}_2\text{O}$  в годичных кольцах и вариациями метеопараметров не выявлено. Возможно, причина состоит в асинхронности воздействия различных метеорологических факторов на больших временных масштабах.

Установленные закономерности справедливы для Томского региона, и их не следует распространять на другие регионы.

## Заключение

Таким образом, исследования содержания  $\text{CO}_2$  в годичных кольцах спилов хвойных деревьев из различных мест обитания показывают, что

1) спилы содержат погодичные распределения содержания  $\text{CO}_2$ , в которых выделяется 4-летняя цикличность;

2) в распределении  $\text{CO}_2$  по кольцам кроме 4-летних циклов отмечается появление долгопериодных вариаций, что, вероятнее всего, связано с возникновением неблагоприятных климатических условий: изменением содержания  $\text{CO}_2$  в атмосфере и изотопного состава углерода  $\text{CO}_2$ , влиянием повышенной солнечной радиации, изменением продолжительности вегетационного сезона и т.д.;

3) тренды содержания  $\text{CO}_2$  в кольцах спилов деревьев, произраставших в различных условиях, имеют разные знаки;

4) содержания  $\text{CO}_2$  и  $\text{H}_2\text{O}$  в годичных кольцах сибирского кедра, испытывающие вариации в широком диапазоне временных масштабов, подвержены воздействию климатических факторов. Наиболее тесно они связаны с 4- и 2-летними вариациями количества осадков в фазе покоя и нижней облачности в период вегетации при определяющей роли осадков. Синхронные между собой колебания содержаний  $\text{CO}_2$  и  $\text{H}_2\text{O}$  противоположны по фазе 4- и 2-летним колебаниям количества осадков. Наряду с этим многолетние вариации содержаний  $\text{CO}_2$  антикоррелируют с приземной температурой в период вегетации.

Для более полного представления влияния неблагоприятных климатических условий на содержание  $\text{CO}_2$  в кольцах необходимо проводить дополнительные исследования. Ответ на этот вопрос, как нам кажется, даст возможность понять влияние роли  $\text{CO}_2$  в стволе как регулятора дыхания растений, находящихся в неблагоприятных климатических условиях.

Работа выполняется по проекту VII.66.1.3 Программы фундаментальных исследований СО РАН.

- Körnen C. Plant  $\text{CO}_2$  responses: an issue of definition, time and resource supply // *New Phytologist*. 2006. V. 172. P. 393–411. doi: 10.1111/j.1469–8137.2006.01886.x
- Savard M.M. Tree-ring stable isotopes and historical perspectives on pollution – an overview // *Environ. Pollut.* 2010. V. 158, N 6. P. 2007–2013.
- Edwards N.T., Tschaplinski T.J., Norby R.J. Stem respiration increases in  $\text{CO}_2$ -enriched sweetgum trees // *New Phytologist*. 2002. V. 155, N 2. P. 239–248.
- Teskey R.O., Saveyn A., Steppe K., McGuire M.A. Origin, fate and significance of  $\text{CO}_2$  in tree stems // *New Phytologist*. 2008. V. 177, N 1. P. 17–32.
- Janouš D., Pokorný R., Brossaud J., Marek M.V. Long-term effects of elevated  $\text{CO}_2$  on woody tissues respiration on Norway spruce studied in open-top chambers // *Biologia Plantarum*. 2000. V. 43, N 1. P. 41–46.
- Ageev B., Ponomarev Yu., Sapozhnikova V. Laser Photoacoustic Detection of  $\text{CO}_2$  in Old Disc Tree-Rings // *Sensors*. 2010. V. 10. P. 3305–3312. doi: 10.3390/s100403305.
- Ageev B.G., Zotikova A.P., Padalko N.L., Ponomarev Yu.N., Savchuk D.A. Sapozhnikova V.A., Chernikov E.V. Variation of  $\text{H}_2\text{O}$ ,  $\text{CO}_2$ , and  $\text{CO}_2$  Isotope Composition in Tree Rings of Siberian Stone Pine // *Atmos. Ocean. Opt.* 2011. V. 24, N 4. P. 390–395.
- Ageev B.G., Ponomarev Yu.N., Sapozhnikova V.A. Laser Photoacoustic Method for Disc Tree-Ring Gas Analysis // *World Environ.* 2012. V. 2, N 2. P. 4–10. doi: 10.5923/j.env.20120202.02.
- Сапожникова В.А., Груздев А.Н., Агеев Б.Г., Пономарев Ю.Н., Савчук Д.А. Связь вариаций содержания  $\text{CO}_2$  и  $\text{H}_2\text{O}$  в годичных кольцах кедра сибирского с вариациями метеорологических параметров // Докл. РАН. 2013 (в печати).
- West G.A., Barret J.J., Siebert D.R., Reddy K.V. Photoacoustic spectroscopy // *Rev. Sci. Instrum.* 1983. V. 54. P. 797–817.
- Zharov V.P., Letokhov V.S. Laser Optoacoustic Spectroscopy. M.: Nauka, 1984. 320 p.
- Meyer P.L., Sigrist M.W. Atmospheric pollution monitoring using  $\text{CO}_2$  laser photoacoustic spectroscopy and other techniques // *Rev. Sci. Instrum.* 1990. V. 61, N 7. P. 1779–1807.
- Air Monitoring by Spectroscopic Techniques / Ed. M.W. Sigrist. N.Y.: John Wiley and Sons, Inc., 1994. 532 p.
- Harren F.J.M., Cotti G., Oomens J., Hekkert S. *et al.* Photoacoustic Spectroscopy in Trace Gas Monitoring in Encyclopedia of Analytical Chemistry / Ed. R.A. Meyers. Chichester: John Wiley & Sons Ltd, 2000. P. 2203–2226.
- Rey J.M., Schramm D., Hahnloser D., Marinov D., Sigrist M.W. Spectroscopic investigation of volatile compounds produced during thermal and radiofrequency bipolar cautery on porcine liver // *Meas. Sci. Technol.* 2008. V. 19, N 7. 5 p.
- Рублев А.Н., Григорьев Г.Ю., Удалова Т.А., Журавлева Т.Б. Регрессивные модели для оценки углеродного обмена в boreальных лесах // Оптика атмосф. и океана. 2010. Т. 23, № 1. С. 21–26.
- Sherstov I.V., Bychkov K.V., Vasil'ev V.A., Karapuzikov A.I., Spitsyn V.V., Chernikov S.B. Two-channel  $\text{CO}_2$  laser system for heterodyne lidar // *Atmos. Ocean. Opt.* 2005. V. 18, N 3. P. 248–253.

18. Rothman L.S., Gordon I.E., Barbe A., Benner C.D., Bernstein P.F., Birk M., Boudon V., Brown L.R., Campagnue A., Champion J.P., Chance K., Coudert L.H., Dana V., Devi V.M., Fally S., Flaud J.-M., Gamache R.R., Goldman A., Jacquemart D., Kleiner I., Lacome N., Lafferty W.J., Mandin J.-Y., Massie S.T., Mikhailenko S.N., Miller C.E., Moazzen-Ahmadi N., Naumenko O.V., Nitin A.V., Orphal J., Perevalov V.I., Perrin A., Predeoi-Cross A., Rinsland C.P., Rotger M., Šimečková M., Smith M.A.H., Sung K., Tashkun S.A., Tennyson J., Toth R.A., Vandaele A.C., Vander Auwera J. The HITRAN 2008 molecular spectroscopic database // J. Quant. Spectrosc. and Radiat. Transfer. 2009. V. 110, N 9–10. P. 533–572.

B.G. Ageev, A.N. Gruzdev, G.V. Matyashenko, D.A. Savchuk, V.A. Sapozhnikova, Yu.N. Ponomarev.  
**Variations and trends of CO<sub>2</sub> and H<sub>2</sub>O content in coniferous tree ring discs.**

The experimental measurements of CO<sub>2</sub> and H<sub>2</sub>O in disc tree-rings of some coniferous from regions with different climates have been obtained, the results were compared with the tree-ring widths, some conclusions were made about climatic response of annual CO<sub>2</sub> and H<sub>2</sub>O distributions. The hypothesis was put forward that the appearance of long-period cyclicities in annual CO<sub>2</sub> tree-ring distribution is a tree's response to the environmental change.